

Università degli studi di Bergamo

Scuola di Ingegneria (Dolmine)

CCS Ingegneria Edile

L-23 Ingegneria delle Tecnologie per l'Edilizia

Scienza delle Costruzioni

(ICAR/08 - SdC ; 9 CFU)

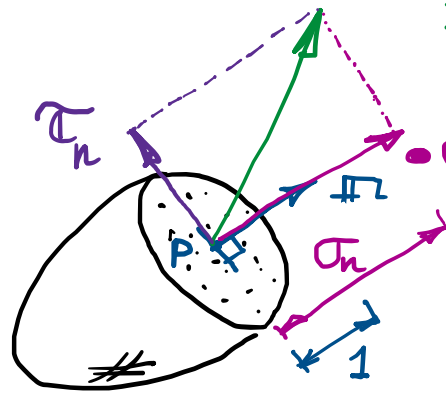
A.A. 2020/2021

prof. Egidio RIZZI

egidio.rizzi@unibg.it

LEZIONE 13

Tensioni principali e direzioni principali di sforzo



$$\mathbb{T}_n = \underline{\sigma} \cdot \underline{n} = \underline{\sigma}^T \cdot \underline{n} = \text{vettore sforzo di Cauchy} = \sigma_n + \tau_n$$

$\sigma_n = \sigma_n \underline{n}$ ove $\sigma_n = \mathbb{T}_n \cdot \underline{n} = t_n \cdot \cos \theta_n$ vettore sforzo normale
 $= \underline{n} \cdot \underline{\sigma} \cdot \underline{n} = \sum_{ij} n_i \sigma_{ij} n_j$ componente di sforzo normale (scalare)

$$\tau_n = \mathbb{T}_n - \sigma_n = \underline{\sigma} \cdot \underline{n} - \sigma_n \underline{\underline{I}} \cdot \underline{n}$$

$$= (\underline{\sigma} - \sigma_n \underline{\underline{I}}) \cdot \underline{n}$$

vettore sforzo tangenziale o tagliente

Direzione principale di sforzo: (solo sforzo normale + no sforzo tagliente)

$$\mathbb{T}_n = \underline{\sigma} \cdot \underline{n} = \sigma_n \underline{n} \quad (\underline{\mathbb{T}}_n = \underline{0})$$

$$(\underline{\sigma} - \sigma_n \underline{\underline{I}}) \cdot \underline{n} = \underline{0}$$

$$\underline{\sigma} \cdot \underline{n} = \sigma_n \underline{n}$$

$$= \sigma_n \underline{\underline{I}} \cdot \underline{n}$$

$\underline{\underline{I}}$: tensore identità del 2° ordine

$$[\underline{\underline{I}}] = \begin{bmatrix} 1 & & \\ & 1 & \\ & & 1 \end{bmatrix} \quad I_{ij} = \delta_{ij} \begin{cases} 1 & \text{se } i=j \\ 0 & \text{se } i \neq j \end{cases}$$

Simbolo di Kronecker

valenze
pratiche: implicazioni
della resistenza dei materiali sul
comportamento strutturale (es. materiali
lapidei, non resistenti a trazione)

Problema agli autovettori associati al tensore sforzo (lapidei, non resistenti a trazione)

matrice $A \cdot \underline{x} = \lambda \underline{x}$

autovettore \Rightarrow direzioni principali
autovalore \Rightarrow tensioni principali

Azione sismica \rightarrow fratture a 45°

Il pb. agli autovalori associato al tensore sforzo di Cauchy ammette soluzioni non banali ($\sigma \neq 0$) se:

$$\tau_n = (\sigma - \sigma_n \mathbb{I}) \cdot \pi = 0 \Rightarrow -\det(\sigma - \sigma_n \mathbb{I}) = - \begin{vmatrix} \sigma_{11} - \sigma_n & \sigma_{12} & \sigma_{13} \\ \sigma_{12} & \sigma_{22} - \sigma_n & \sigma_{23} \\ \sigma_{13} & \sigma_{23} & \sigma_{33} - \sigma_n \end{vmatrix} =$$

Coefficienti del polinomio caratteristico I_i :

Invarianti di sforzo (al variare del sistema di riferimento): [poiché σ_n devono esserlo]

$$= \sigma_n^3 - I_1 \sigma_n^2 - I_2 \sigma_n^1 - I_3 \sigma_n^0 = 0$$

L'equazione caratteristica (di 3° grado) ha 3 radici: autovelni $\sigma_I, \sigma_{II}, \sigma_{III}$

L'equazione caratteristica

- primo (lineare) $I_1 = \text{tr } \sigma \sim \sigma^1$
 $= \sigma_{11} + \sigma_{22} + \sigma_{33} = \sigma_{ii} = \mathbb{I} : \sigma = \delta_{ij} \sigma_{ij}$

- secondo (quadratico) $I_2 = \frac{1}{2} (\text{tr}(\sigma^2) - (\text{tr} \sigma)^2) \sim \sigma^2$
 $= \frac{1}{2} (\sigma_{ij} \sigma_{ij} - (\sigma_{kk})^2)$

$$= - \left(\begin{vmatrix} \sigma_{11} & \sigma_{12} \\ \sigma_{12} & \sigma_{22} \end{vmatrix} + \begin{vmatrix} \sigma_{22} & \sigma_{23} \\ \sigma_{23} & \sigma_{33} \end{vmatrix} + \begin{vmatrix} \sigma_{11} & \sigma_{13} \\ \sigma_{13} & \sigma_{33} \end{vmatrix} \right) = \sigma_{12}^2 + \sigma_{23}^2 + \sigma_{13}^2 - (\sigma_{11}\sigma_{22} + \sigma_{22}\sigma_{33} + \sigma_{11}\sigma_{33})$$

- terzo (cubico) $I_3 = \det \sigma \sim \sigma^3 \iff$ poiché $-\det(\sigma - \sigma_n \mathbb{I}) = -I_3$ per $\sigma_n = 0$

$$= \frac{1}{3} \text{tr} \sigma^3 - \frac{\text{tr} \sigma}{2} \left(\text{tr} \sigma^2 - \frac{1}{3} \text{tr}^2 \sigma \right)$$

$$= \sigma_{11} \sigma_{22} \sigma_{33} + 2 \sigma_{12} \sigma_{23} \sigma_{13} - \sigma_{12}^2 \sigma_{33}^2 - \sigma_{23}^2 \sigma_{11}^2 - \sigma_{13}^2 \sigma_{22}^2$$

tensioni principali
 $\uparrow \downarrow$
 autovettori $\pi_I, \pi_{II}, \pi_{III}$
 direzioni principali
 di sforzo

- Poiché σ è reale ($\sigma \in \mathbb{R}$) e simmetrico ($\sigma^T = \sigma$), gli autovetori sono reali: $\sigma_I, \sigma_{II}, \sigma_{III} \in \mathbb{R}$
- A due autovetori distinti corrispondono due autovettori mutuamente ortogonali:

$$\sigma_I \neq \sigma_{II} \Rightarrow \begin{aligned} \sigma_I \cdot (\sigma \cdot \eta_I = \sigma_I \eta_I) \\ \sigma_{II} \cdot (\sigma \cdot \eta_{II} = \sigma_{II} \eta_{II}) \end{aligned}$$

$$\overline{\eta_I \cdot \sigma \cdot \eta_I - \eta_{II} \cdot \sigma \cdot \eta_{II}} = \underbrace{\sigma_I \eta_{II} \cdot \eta_I}_{\text{0}} - \underbrace{\sigma_{II} \eta_I \cdot \eta_{II}}_{\text{0}}$$

$$0 \perp \eta_I \cdot \sigma \cdot \eta_{II} - \eta_I \cdot \sigma \cdot \eta_{II} = (\underbrace{\sigma_I - \sigma_{II}}_{\neq 0}) \cdot \eta_I \cdot \eta_{II} \Rightarrow \eta_I \cdot \eta_{II} = 0$$

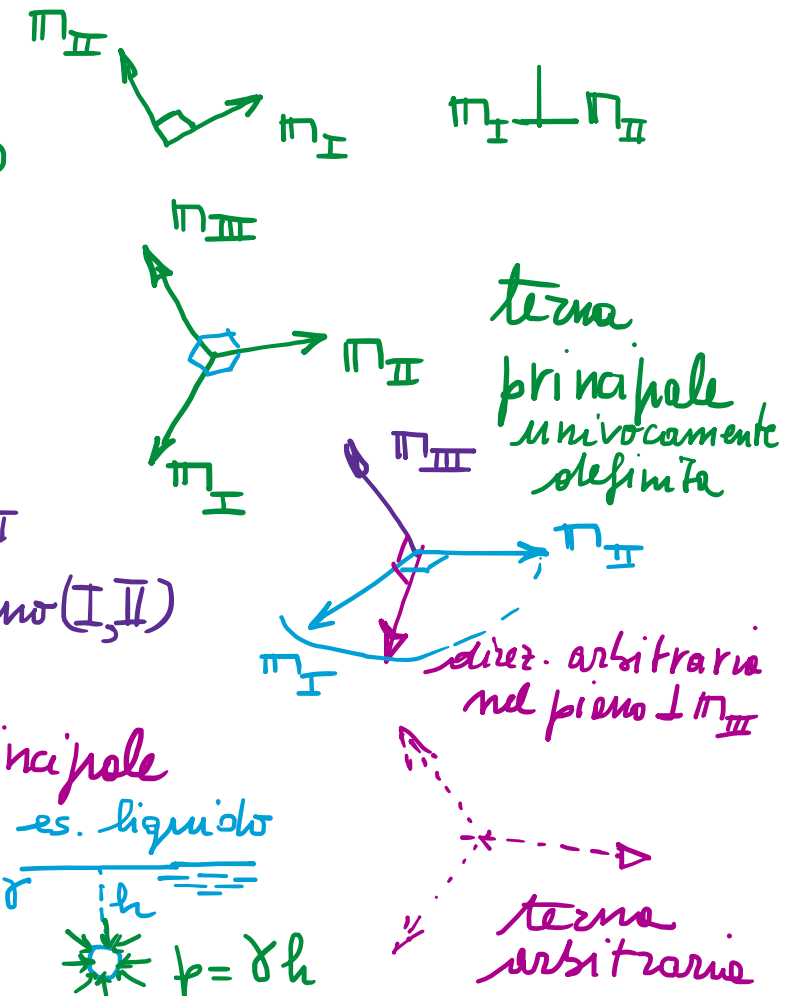
- Moltiplicità delle radici

+ 3 radici distinte $\sigma_I \neq \sigma_{II} \neq \sigma_{III} \Rightarrow 3$ dir. princ. mutuam. \perp

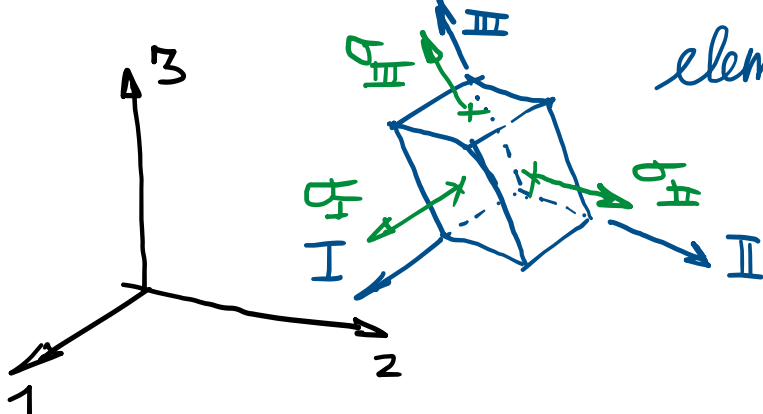
+ 2 radici distinte, es. $\sigma_I = \sigma_{II} \neq \sigma_{III} \Rightarrow$ ogni direz. \perp a η_{III}
(" " coincidenti)

+ 3 radici coincidenti $\sigma_I = \sigma_{II} = \sigma_{III} \Rightarrow$ ogni direz. è principale
(stato di sforzo sferico o idrostatico) $\xrightarrow{\text{es. liquido}}$

"uguale in tutte le direzioni"
(solo sforzo normale)



- Diagona~~l~~izzaz~~o~~ne di σ nelle direzioni principali
elementari in terne principale



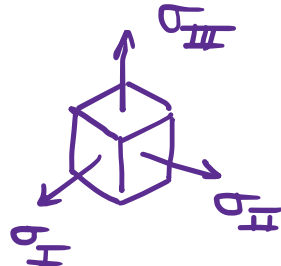
$$[\sigma]_{\text{rif. princ.}} = \begin{bmatrix} \sigma_I & & & \\ & \sigma_{II} & & \\ & & \sigma_{III} & \\ & & & \end{bmatrix} \quad \text{matrice diagonale}$$

$$\left\{ \begin{array}{l} I_1 = \sigma_I + \sigma_{II} + \sigma_{III} \\ I_2 = -(\sigma_I \sigma_{II} + \sigma_{II} \sigma_{III} + \sigma_I \sigma_{III}) \\ I_3 = \sigma_I \sigma_{II} \sigma_{III} \end{array} \right.$$

Invarianti espressi nel riferimento principale

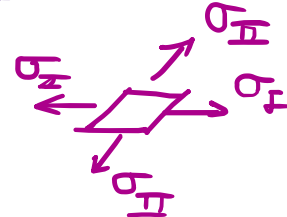
- Classificazione dello stato di sforzo :

+ triassiale (3D) : $\sigma_I \neq 0, \sigma_{II} \neq 0, \sigma_{III} \neq 0$



sforzo tridimensionale
(es. solida)

+ biassiale (2D) : " " , $\sigma_{III}=0$



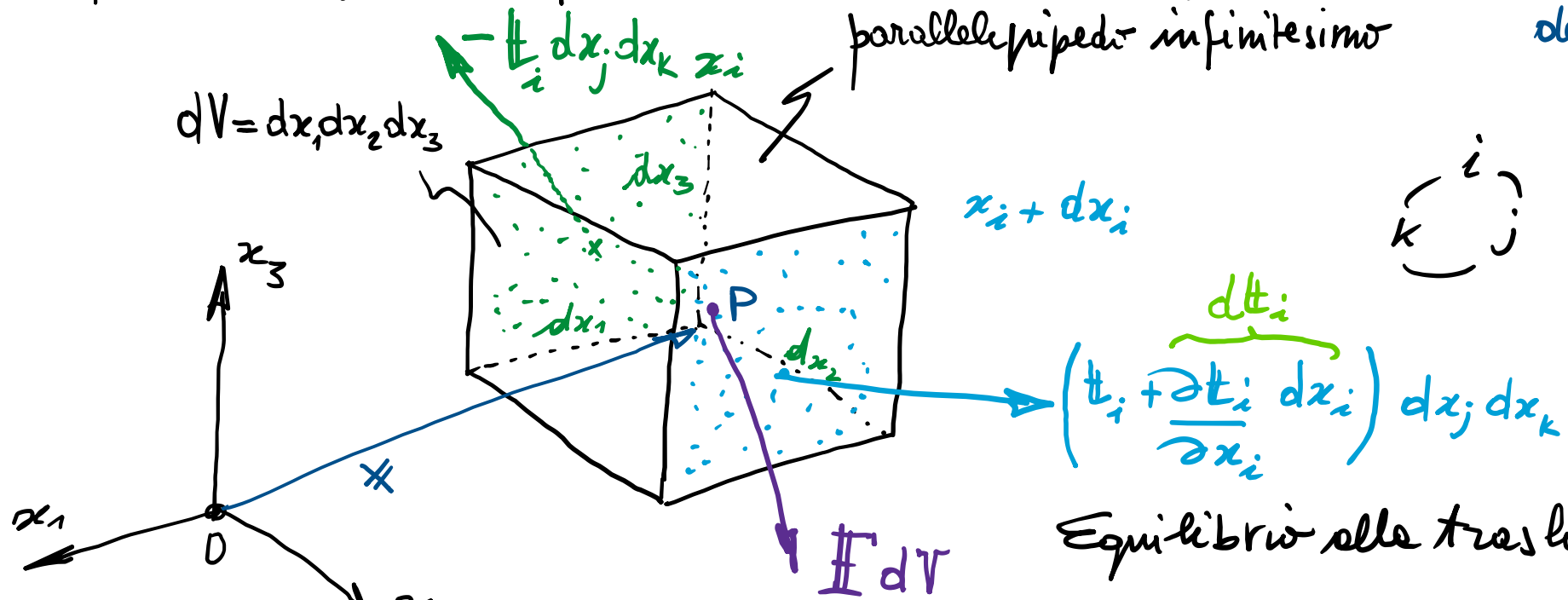
sforzo piano
(es. lastra, trave)

+ monoassiale (1D) : " , $\sigma_I = \sigma_{II} = 0$ $\leftarrow \qquad \rightarrow \rightleftharpoons \sigma_I \qquad \sigma_{II}$

sforzo monodimensionale
(es. filo teso)

(vedi es. stato di sforzo nelle frane monoassiali di trazione)

Equazioni indefinite di equilibrio dei continui : $\forall \mathbf{x}, dV$
parallellepipedo infinitesimo



sulla variazione spaziale
del campo di sforzo
 $\sigma(\mathbf{x}), t_n(\mathbf{x})$

es. nelle travi
 $T(x) = -q(x)$

Equilibrio alla traslazione :

$$\sum_i \left(t_i + \frac{\partial t_i}{\partial x_i} dx_i \right) dx_j dx_k - t_i dx_j dx_k + \mathbb{F} dV = 0$$

$$\sum_i \frac{\partial t_i}{\partial x_i} + \mathbb{F} = 0 \text{ in } V$$

I eq.m scalari

$$j=1,2,3$$

$$\sigma_{ij} \frac{\partial x_j}{\partial x_i} + F_j = \frac{\partial t_i}{\partial x_i} + F_j = 0_j \Leftrightarrow$$

$$(\text{Equil. alle rotz.} \rightarrow \sigma^T = \sigma)$$

$$\boxed{\begin{aligned} \text{div } \sigma + \mathbb{F} &= 0 \text{ in } V \\ \nabla \cdot \sigma &= -\mathbb{F} \end{aligned}}$$

gradiente
 $\text{div} = \nabla \cdot (\quad)$
operatore di divergenza